

## بررسی وضعیت فرسایش و رسوبگذاری رودخانه شیرین دره با استفاده از مدل ریاضی HEC-RAS

صادم امامقلیزاده<sup>۱</sup> سولماز شیردل<sup>۲</sup> محمدعلی گنجویان<sup>۳</sup> محمد محمدیون<sup>۴</sup> منوچهر فتحی‌قدم<sup>۵</sup>

- ۱- عضو هیات علمی دانشگاه صنعتی شاهرود و استاد مدعو دانشگاه آزاد اسلامی واحد شاهرود S\_gholizadeh517@yahoo.com  
۲- دانشجوی کارشناسی ارشد زمین شناسی رسوب دانشگاه آزاد اسلامی واحد شاهرود  
۳- عضو هیات علمی دانشگاه آزاد اسلامی واحد شاهرود  
۴- عضو هیات علمی دانشگاه شهری مدیریت چمران اهواز

تاریخ پذیرش: ۸۹/۴/۵

تاریخ دریافت: ۸۹/۱/۲۷

### چکیده

رودخانه شیرین دره واقع در استان خراسان شمالی، نقش مهمی در تامین آب منطقه دارد. با توجه به اهمیت رودخانه مذکور، در تحقیق حاضر سعی شد با استفاده از مدل ریاضی HEC-RAS به بررسی وضعیت فرسایش و رسوبگذاری رودخانه شیرین دره پرداخته شود. بدین منظور برای شبیه‌سازی هیدرولیک جریان رودخانه از آمار سیالاب ۳۸ ساله اندازه‌گیری شده در ایستگاه هیدرومتری قتلیش واقع بر روی رودخانه شیرین دره استفاده گردید. سپس مدل HEC-RAS برای دبی ۲۵ ساله (۲۸۴/۸ مترمکعب در ثانیه) اجرا گردید. بعد از کالیبره کردن مدل، نتایج حاصل از آن برای اجرای هیدرولیک رسوب رودخانه مورد استفاده قرار گرفت. برای مدلسازی رسوب رودخانه ۱۹ نمونه رسوب در طول رودخانه (به طول ۳۹ کیلومتر) جمع‌آوری گردید. با شبیه‌سازی هیدرولیک جریان و رسوب، ظرفیت انتقال رسوب رودخانه در مقاطع مختلف رودخانه محاسبه گردید. مقایسه بین نتایج بدست آمده و داده‌های اندازه‌گیری شده نشان می‌دهد، معادله لارسن با داشتن خطای کمتری برآورد قابل قبولتری نسبت به سایر معادله‌ها داشته است. بر این اساس پیشنهاد می‌شود جهت شناخت پتانسیل میزان انتقال رسوب از این مدل در مناطق مختلف رودخانه استفاده شود. همچنین برای بررسی وضعیت فرسایش و رسوبگذاری رودخانه از معیار شیلدز و هالستروم استفاده شد. نتایج تحقیق نشان می‌دهد، وضعیت هیدرولیکی جریان در طول رودخانه به گونه‌ای است که تمامی مقاطع رودخانه در وضعیت فرسایش می‌باشد.

کلمات کلیدی: فرسایش، رسوبگذاری، رودخانه شیرین دره، انتقال رسوب، مدل ریاضی

عوامل تاثیر گذار در پدیده فرسایش و رسوبگذاری متنوع می‌باشند که از آن جمله می‌توان به وقوع سیالاب‌ها و تکرار آنها، تغییر رژیم هیدرولیکی، تغییر رژیم رسوبی، تغییر کاربری اراضی، تغییر در ویژگی‌های حوضه

### مقدمه

رودخانه‌ها تحت تاثیر فرسایش و رسوبگذاری<sup>۱</sup> دستخوش تغییرات گوناگونی می‌شوند که از آن جمله می‌توان به تغییر راستا، جا به جایی‌های عرضی و طولی، وقوع میانبرها، تغییر نوع رودخانه، تغییر تراز بستر، تغییر دانه‌بنده و دگرگونی ویژگی‌های هندسی مسیر اشاره نمود.

کانفیلد و همکاران<sup>۱</sup> [۷] اشاره نمود. آنها از مدل HEC-RAS برای مدلسازی آبشنستگی و تجمع رسوب در رودخانه سرو کرانده<sup>۲</sup> مورد استفاده قرار دادند. همچنین، راتهبرن و ول<sup>۳</sup> [۱۳] با استفاده از مدل مذکور پیش‌بینی دینامیک رسوبات ریزدانه را در طول رودخانه‌های کوهستانی مورد بررسی قرار داند گیسون و همکاران<sup>۴</sup> [۱۰] قابلیت مدل HEC-RAS را برای محاسبات انتقال رسوب رودخانه مورد بررسی قرار دادند. همچنین در زمینه بررسی هیدرولیک جریان در رودخانه‌ها نیز مطالعات مختلفی با استفاده از مدل مذکور انجام گرفته است که برای مثال می‌توان به مطالعات پاپنبرگ و همکاران<sup>۵</sup> [۱۲]، کوک و مروده<sup>۶</sup> [۸] اشاره نمود. محققین مختلفی در داخل کشور نیز از این مدل بررسی انتقال رسوب در رودخانه‌ها و مخازن سدها مورد استفاده قرار دادند که برای مثال می‌توان به تحقیقات سلاجقه و همکاران [۲]، خسروپور و همکاران [۵]، رحیمی دهاقانی و همکاران [۶]، شاهی‌تزاد و همکاران [۳]، بهرنگی و همکاران [۱] اشاره نمود.

## مواد و روش‌ها

### ۱- منطقه مورد مطالعه

استان خراسان شمالی در شمال شرق کشور

آبریز، دخل و تصرف در حریم طبیعی رودخانه و ساخت سازه‌های کنترل برای بهره برداری از منابع رودخانه‌ای را نام برد. متخصصین رودخانه از دیر باز سعی داشتند با استفاده از روش‌های مختلفی به بررسی فعل و انفعالات فرسایش و رسوب‌گذاری پیروزند. مطالعات در زمینه فرسایش و رسوب در رودخانه‌ها به طور معمول دارای پیچیدگی‌های فراوانی است و استفاده عملی از نتایج مطالعات مستلزم دقیق و توجه زیادی می‌باشد. از این رو لازم است قبل از اقدام به طراحی و اجرای پروژه‌های مهندسی از چگونگی عملکرد آنها اطمینان حاصل شود. با توجه به پیچیدگی‌های پدیده‌های هیدرولیکی و رسوبی در و رودخانه‌ها، امکان حل معادلات به روش تحلیلی ممکن نیست و عموماً از روش‌های عددی استفاده می‌شود. امروزه با پیشرفت زیاد علم کامپیوتر توسعه هر چه بیشتر روش‌های عددی، مدل‌های ریاضی در مطالعات مهندسی رودخانه کاربرد زیادی یافته‌اند. مدل‌های ریاضی ابزار مفیدی برای حل مسائل مرتبط با فرسایش و رسوب در رودخانه‌ها می‌باشند. چانگ<sup>۷</sup> [۹] در این زمینه اظهار می‌دارد از آنجاییکه مدل‌های ریاضی در مقایسه با مدل فیزیکی با محدودیت مقیاس مواجه نمی‌باشد و ابعاد واقعی پدیده‌ها را مدل می‌کند، از این رو ابزار مناسبی می‌باشند. تا به حال برای مطالعات فرسایش و رسوب، مدل‌های ریاضی متعدد توسعه یافته است که می‌توان به مدل‌های ریاضی HEC-6، HEC-RAS، GSTAR، MIKK11، SSIIM، RAS اشاره نمود. تا به حال از مدل HEC-RAS به منظورهای مختلفی مانند مدلسازی هیدرولیک و رسوب رودخانه‌ها و مخازن سدها مورد استفاده قرار گرفته است که برای مثال می‌توان به مطالعات

1- Chang

2- Confield, et al.

3- Cerro Grande

4- Rathburn and Whol

5- Gibson, et al.

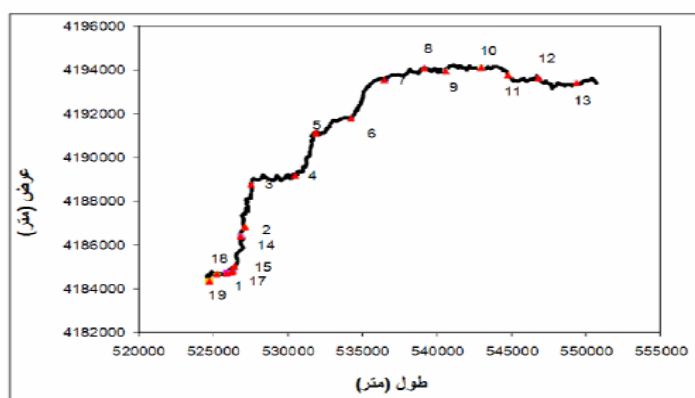
6- Papperloerger, et al .

7- Cook and Merwade

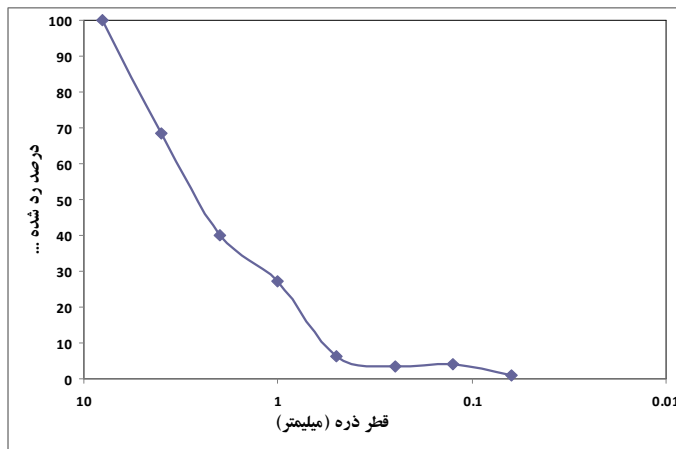
گیفان پایین، ایوب پیامبر، امیرآباد و قاضی در انتهای مسیر به روستای قتلیش وارد می‌شوند. لازم به توضیح است، جهت جریان تا محل روستای گیفان پایین، شرقی- غربی و از آن پس شمال شرقی- جنوب غربی می‌شود. رودخانه شیرین دره پس از عبور از چندین روستا و اخذ شاخه‌های کوچک و بزرگ دیگر در نهایت به رودخانه اترک تخلیه می‌گردد.

از آنجاییکه برای شبیه سازی هیدرولیک جریان نیاز به جمع آوری داده‌های رسوب می‌باشد، لذا در طول رودخانه نمونه های رسوب بستر جمع آوری گردید. شکل ۱ پلان رودخانه شیرین دره، محل اخذ نمونه های رسوب و همچنین محل ایستگاه هیدرومتری قتلیش را نشان می‌دهد. ایستگاه هیدرومتری دانه بندی نمونه‌های رسوب بستر رودخانه با روش الکترودن شناس می‌دهد، که تقریباً رسوبات دارای دانه بندی شبیه به هم می‌باشند. شکل ۲ نمونه‌ای از منحنی دانه بندی نمونه رسوب بستر رودخانه (نمونه شماره ۶ در شکل ۱) را نشان می‌دهد.

واقع شده است. این منطقه محل تلاقی ۴ حوضه آبریز اصلی اترک، قره‌قوم، خزر و کویر مرکزی می‌باشد. گستره مورد مطالعه در این تحقیق در شهرستان بجنورد در محدوده جغرافیایی "۴۵° ۵۷' ۳۹" تا "۳۹° ۵۷' ۳۴" طول شرقی و "۱۶° ۴۸' ۳۷" تا "۴۲° ۵۳' ۳۷" عرض شمالی حوضه آبریز رودخانه شیرین دره واقع شده است و نام آن از روستای شیرین دره که در مسیر همین رودخانه و نزدیک به سد ساخته شده، گرفته شده است. این رودخانه از نوع دائمی بوده و جریان آب پایه آن از محل چشممه‌های متعددی که در دامنه‌های پایین دست کوه باش تپه در محل روستای ارناوه واقع هستند، تأمین می‌شود. رودخانه شیرین دره از اتصال انشعابات کوههای دالانچه، کنجخور، میسگر، بزین، میسو، قلعه جوق، گل داغ، نظرگاه، کلاته چnar تقذیه می‌گردد. مسیر مورد بررسی حدود ۳۹ کیلومتر می‌باشد که از ۲ کیلومتری بالا دست روستای قلعه محمدی آغاز گردیده و در طول مسیر با گذشتن از روستاهای گیفان بالا،



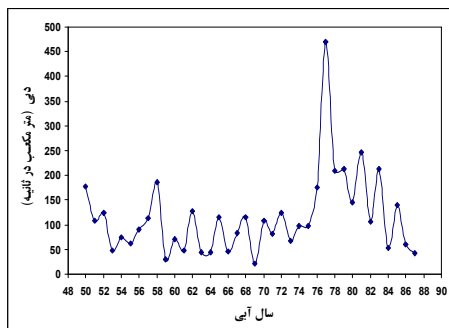
شکل (۱): پلان رودخانه شیرین دره، ایستگاه هیدرومتری قتلیش و محل اخذ نمونه‌های رسوب



شکل (۲): منحنی دانه‌بندی نمونه رسوب بستر رودخانه (نمونه شماره ۶ در شکل ۱)

استفاده قرار می‌گیرد که بیشتر جنبه آماری دارند. برای محاسبه سیلاب به روش‌های تجربی، با توجه به موقعیت و طول دوره آماری مناسب ایستگاه هیدرومتری قتلیش، از آمار دبی حداقل لحظه‌ای آن استفاده شده است. ایستگاه مذکور در موقعیت  $y = ۵۲۵۰۳۱$  و  $x = ۴۱۸۴۶۷۴$  قرار داشته و مساحت بالادست آن ۱۳۵۵ کیلومترمربع و ارتفاع آن ۹۴۱ متر می‌باشد. همچنین این ایستگاه مجهز به اشل، لیمینگراف و پل تلفریک می‌باشد. آمار سیلاب اندازه‌گیری شده در این ایستگاه در شکل ۳ ارائه شده است. به منظور برآورد نهایی سیلاب در حوضه مورد مطالعه از روش‌های متعددی می‌توان بهره جست که برای مثال می‌توان به روش‌های فولر، استدلالی، دیکن، کریگر اشاره نمود. برآورد نهایی سیلاب با روش‌های مذکور در جدول زیر آورده شده است [۴]. با مقایسه سیلاب برآورد شده به روش‌های مختلف که در جدول فوق ارائه گردید، و همچنین با توجه به بازدیدهای انجام شده از

یکی از بخش‌های مهم و ضروری که در گزارش هیدرولوژی مورد بحث و بررسی قرار می‌گیرد وضعیت سیلابی حوضه مورد مطالعه است. سیلاب‌های بزرگ و استثنایی حوضه بايستی به طرق منطقی و قابل قبول تخمین زده شده و برآورد گردند، چرا که این سیلاب‌های برآورد شده مبنای طراحی بسیاری از سازه‌ها و نیز تعیین حریم و بستر رودخانه‌ها می‌باشد. وقوع سیل را مانند بسیاری از رویدادهای طبیعی نمی‌توان از لحاظ زمانی و کمیتی به شکلی دقیق پیش‌بینی نمود. لذا تنها بر اساس آمار و اطلاعات ثبت شده ایستگاه‌های هیدرومتری، نسبت به تخمین میزان سیل با دوره بازگشت‌های مختلف اقدام می‌شود. تعیین سیلاب در مطالعات هیدرولوژی به روش‌های مختلفی انجام می‌گیرد. بسیاری از این روش‌ها به صورت تجربی به دست آمدند. اما به دلیل برآورد مناسبی که از سیلاب به دست می‌دهند، به شکل گستردگی در مطالعات هیدرولوژی مورد استفاده قرار می‌گیرند. به علاوه روش‌های دیگری نیز در برآورد سیلاب مورد



شکل (۳): سیالاب اندازه‌گیری شده در ایستگاه هیدرومتری قتلیش

سال‌ها است که در سراسر دنیا این نرم افزار در زمینه مهندسی مورد استفاده قرار می‌گیرد. در سال ۲۰۰۶ قابلیت شبیه‌سازی رسویگذاری و انتقال رسووب به آن اضافه شده است. بخش تحلیل رسووب نرم افزار HEC-RAS در اصل بخش ارتقا یافته مدل HEC-6

منطقه مورد مطالعه و با توجه به بافت خاک، پوشش گیاهی، شبیب و نیز موقعیت ایستگاه هیدرومتری قتلیش بر روی رودخانه شیرین دره و طول دوره آماری بلند مدت آن، نتایج روش دیکن بر اساس سیالاب‌های ثبت شده همین ایستگاه نسبت به سایر روش‌های ارائه شده با

جدول (۱): برآورد نهایی سیالاب با دوره برگشت‌های مختلف با استفاده از آمار دبی اندازه‌گیری شده در ایستگاه هیدرومتری قتلیش

دوره برگشت(سال)	روش						
	۲۰۰	۱۰۰	۵۰	۲۵	۱۰	۵	۲
فولر	۴۰۷/۷	۳۶۷/۳	۳۲۶/۳	۲۸۴/۴	۲۲۶/۹	۱۸۰/۶	۱۱۰/۴
کریگر	۳۹۹/۹	۳۶۰/۳	۳۲۰	۲۷۹	۲۲۲/۶	۱۷۷/۱	۱۰۸/۳
دیکن	۴۰۸/۳	۳۶۷/۸	۳۲۶/۸	۲۸۴/۸	۲۷۷/۳	۱۸۰/۹	۱۱۰/۵
استدلای	۳۴۶/۸	۳۲۴/۳	۲۸۰/۴	۲۳۶/۴	۱۸۷/۵	۱۵۶/۶	۹۶/۸

می‌باشد، که بیش از ۳۰ سال از این مدل برای تحلیل رسووب رودخانه‌ها و مخازن سدها مورد استفاده مهندسین قرار گرفته است. مهمترین قابلیت‌های بخش آنالیز رسووب نرم افزار HEC-RAS عبارتند از مدل‌سازی بلند مدت رسویگذاری در مخزن، تخمین حداکثر میزان آب‌شستگی در هنگام سیالاب‌های بزرگ، ارزیابی

واقعیت سیالابی منطقه تطبیق بیشتری دارد و لذا مقادیر حاصل از این روش به عنوان برآورد نهایی سیالاب در حوضه‌های مورد مطالعه انتخاب می‌گردد [۴].

**۲- نرم افزار HEC-RAS**  
نرم افزار HEC-RAS توسط اداره مهندسی ارتش آمریکا ایجاد و توسعه پیدا کرده است و

مقاطع رودخانه می‌باشد. معادله حاکم بر جریان غیر دائم یک بعدی عبارتند از معادله پیوستگی:

$$\frac{\partial A}{\partial t} + \frac{\partial Q}{\partial X} = q \quad (3)$$

معادله اندازه حرکت:

$$\frac{\partial Q}{\partial t} + \frac{\partial(\beta Q^2 / A)}{\partial x} + gA \frac{\partial h}{\partial x} + \frac{gQ/Q}{C^2 AR} = 0 \quad (4)$$

در معادله فوق  $Q$  دبی،  $A$  مساحت مقطع جریان،  $q$  دبی جانبی،  $h$  عمق جریان،  $C$  ضریب مقاومت شزری،  $R$  شعاع هیدرولیکی،  $g$  ثابت گرانشی،  $\beta$  ضریب اندازه حرکت می‌باشد. بخش انتقال رسوب این مدل برای شبیه سازی یک بعدی تهنشین شدن رسوب و یا فرسایش و آب شستگی بستر در سال ۲۰۰۶ توسعه داده شده است. این بخش با استفاده از ششتابع مختلف برای انتقال رسوب که خلاصه مشخصه‌های آنها در جدول ۲ آمده است، به بررسی نحوه انتقال رسوبات در رودخانه‌ها می‌پردازد. در جدول ۲،  $d$  قطر رسوب،  $GS$  چگالی نسبی رسوب،  $D$  عمق جریان،  $V$  سرعت جریان آب،  $S$  شبیه رودخانه،  $W$  عرض رودخانه یا کanal،  $T$  درجه حرارت آب می‌باشد. با توجه به طول رودخانه شیرین دره که در حدود ۳۹ کیلومتر می‌باشد، در مدل HEC-RAS برای ایجاد هندسه مدل ۱۱۵۸ مقطع عرضی که توسط آب منطقه‌ای خراسان شمالی تهیه شده

رسوبگذاری در کanal‌ها می‌باشد. همچنین این مدل این قابلیت را دارد که با استفاده از چهار روش روبی<sup>۱</sup>، توفالتی<sup>۲</sup>، فان راین<sup>۳</sup> و روش پیش فرض برنامه HEC-RAS، سرعت سقوط را محاسبه می‌کند، و بر اساس شش رابطه انتقال رسوب، میزان جابجایی رسوب را تخمین می‌زند (راهنمای نرم افزار HEC-RAS<sup>۴</sup>).

### ۳- معادلات حاکم در مدل HEC-RAS

نرم افزار HEC-RAS به طور همزمان و به صورت یک بعدی قابلیت تحلیل و آنالیز جریانهای ثابت، متغیر تدریجی و انتقال رسوب را بصورت عددی دارد. در مدل HEC-RAS، جهت محاسبه پروفیل سطح آب، شبیه سازی بر اساس روش گام به گام استاندارد می‌باشد که در این روش بسته به نوع جریان، محاسبات از یکی از دو انتهای بازه در جریان فوق بحرانی از بالادست و در جریان زیربحرانی از پائین دست شروع می‌شود و اساس روش بر مبنای رابطه انرژی است:

$$WS_2 + \frac{\alpha_2 v_2^2}{2g} = WS_1 + \frac{\alpha_1 v_1^2}{2g} + h_e \quad (1)$$

$$h_e = L \bar{S}_f + c \frac{\alpha_2 v_2^2}{2g} - \frac{\alpha_1 v_1^2}{2g} \quad (2)$$

در روابط بالا  $WS_1$  و  $WS_2$  به ترتیب تراز سطح آب در مقطع اول و دوم (متر)،  $V_1$  و  $V_2$  سرعت متوسط جریان در مقطع اول و دوم (متربр ثانیه)،  $\alpha_1$  و  $\alpha_2$  به ترتیب ضریب تصحیح انرژی در مقطع ۱ و ۲،  $h_e$  اتلاف انرژی بین دو مقطع بر حسب (متر)،  $L$ ، فاصله دو مقطع در امتداد بستر جریان (متر)،  $S_f$  متوسط شبیه خط انرژی بین دو مقطع (متر بر متر) و  $c$  ضریب انسباط و انقباض

1- Rubey

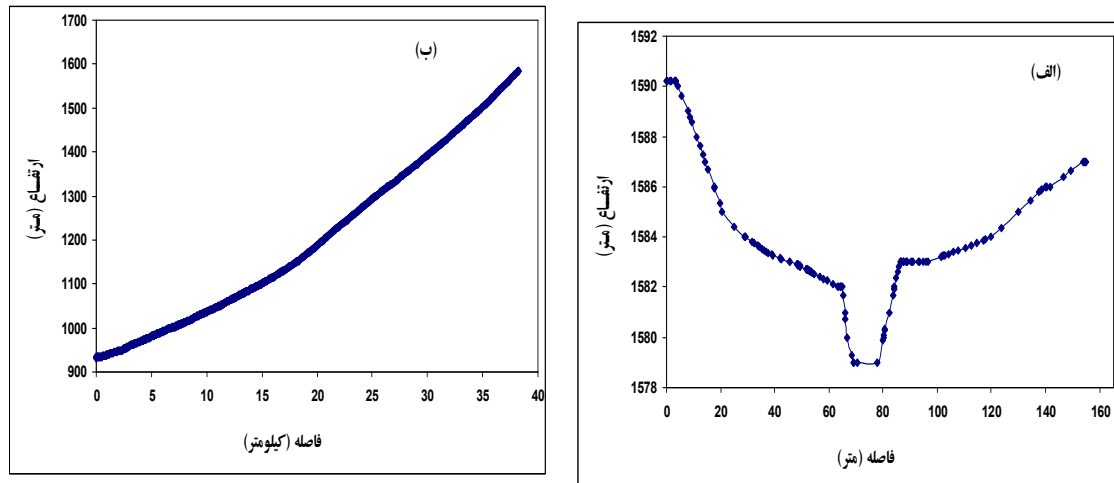
2- Toffaleti

3- Van Rijn

4- HEC-RAS Manual

## جدول (۲): مشخصات توابع به کار رفته در نسخه ۴ نرم افزار HEC-RA

معادله انتقال رسوب	سال	نحوه استخراج	دانه بندی	توضیحات	شرط استفاده از رابطه
ایکرز- وايت	۱۹۷۳	آزمایشگاهی	ماسه- شن	انتقال بار معلق (ریزدانه) تابعی از نوسانات آشفتگی جریان آب من باشد. انتقال بار بسته (درشت دانه) تابعی از تنفس برنش اعمال شده بر روی رسوبات هم باشد.	$0.04 < d < 7 \text{ mm}$ , $1.0 < G_s < 2.7$ $0.07 < V < 7.1 \text{ fpm}$ , $0.01 < D < 1.4 \text{ ft}$ $0.00006 < S < 0.0037$ , $0.23 < W < 4 \text{ ft}$ $46 < T < 89 \text{ degrees F}$
انگلند- هانسن	۱۹۶۷	آزمایشگاهی	ماسه	برای رودخانه های ماسه ای که دارای بار معلق قابل توجه دارند کاربرد دارد	$0.19 < dm < 0.93 \text{ mm}$ , $0.65 < V < 6.34$ $0.19 < D < 1.33 \text{ fpm}$ , $0.000055 < S < 0.019 \text{ ft}$ $45 < T < 93 \text{ degrees F}$
لارسن (کوپلند)	۱۹۸۹	آزمایشگاهی حصر ای	سیلت- شن	برای رودخانه های که دارای بار شنی دارند کاربرد دارد	$0.011 < dm < 29 \text{ mm}$ , $0.7 < V < 9.4 \text{ fpm}$ $0.03 < D < 3.6 \text{ ft}$ , $0.00025 < S < 0.025$ $0.25 < W < 6.6 \text{ ft}$ , $46 < T < 83 \text{ degrees F}$
میر- بیتر و مولر	۱۹۴۸	آزمایشگاهی	ماسه- شن	برای رودخانه های که دارای رسوبات درشت دانه دارند کاربرد دارد.	$0.4 < d < 29 \text{ mm}$ , $1.25 < s < 4.0$ $1.2 < V < 9.4 \text{ fpm}$ , $0.03 < D < 3.9 \text{ ft}$ $0.0004 < S < 0.02$ , $0.5 < W < 6.6 \text{ ft}$
توفالتنی	۱۹۶۸	آزمایشگاهی حصر ای	ماسه	برآورد دبی رسوب بر اساس محاسبه سنتونهای عمودی غلظت (تقسیم بندی آن به ۴ تابعه) صورت هم گیرد.	$0.062 < d < 4 \text{ mm}$ , $0.095 < dm < 0.76 \text{ mm}$ $0.7 < V < 7.8 \text{ fpm}$ , $0.07 < R < 56.7 \text{ ft}$ $0.000002 < S < 0.0011$ , $63 < W < 3640 \text{ ft}$ $32 < T < 94 \text{ degrees F}$
یانگ	-۱۹۸۴ ۱۹۷۳	آزمایشگاهی حصر ای	ماسه- شن	برآورد دبی رسوب بر اساس قدرت جریان استوار است.	$0.15 < d < 1.7 \text{ mm}$ , $0.8 < V < 6.4 \text{ fpm}$ $0.04 < D < 50 \text{ ft}$ , $0.000043 < S < 0.028$ $0.44 < W < 1750$ , $32 < T < 94 \text{ degrees F}$



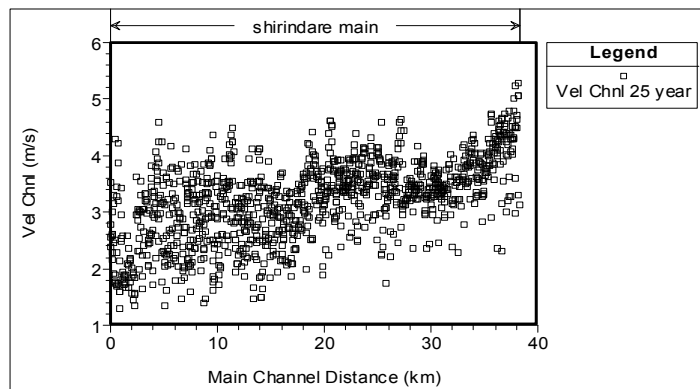
شکل (۴) الف و ب: نمونه‌ای از مقطع عرضی رودخانه شیرین دره (کیلومتر ۳۸،۵) و پروفیل طولی آن

پایین دست از رابط دبی اشل ایستگاه هیدرومتری قتلیش استفاده گردید.

### نتایج و بحث

از آنجاییکه هدف از انجام تحقیق حاضر بررسی وضعیت رسوبگذاری و فرسایش رودخانه شیرین دره در محدوده مطالعاتی مورد نظر می‌باشد، لذا ابتدا هیدرولیک جریان رودخانه شیرین دره مورد بررسی قرار گرفت. شکل‌های ۵، ۶ و ۷ به ترتیب سرعت جریان، عدد فرود جریان و تنش برشی را در مقاطع مختلف رودخانه نشان می‌دهد. جدول ۳ مقادیر حداقل و حداقل پارامترهای سرعت جریان، عدد فرود جریان و تنش برشی را در طول رودخانه شیرین دره، وقتی مدل با دبی ۲۸۴/۸ متر مکعب در ثانیه اجرا گردید، نشان می‌دهد.

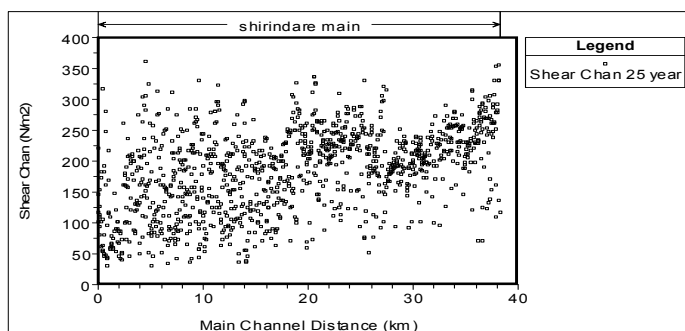
بود، به مدل معرفی گردید. بطور متوسط فاصله مقاطع ۳۴ متر می‌باشد. شکل ۴-الف نمونه‌ای از مقطع عرضی رودخانه را در کیلومتر ۳۸،۵ و شکل ۴ ب پروفیل طولی رودخانه را بعد از معرفی مقاطع عرضی به مدل نشان می‌دهد. با توجه به تحلیل آماری بر روی داده‌های دبی رودخانه شیرین دره مقدار دبی ۲۵ ساله برابر با ۲۸۴/۸ بdst است آمد که از آن برای معرفی به مدل استفاده گردید. دلیل استفاده از این دبی برای اجرای مدل آن بود که معمولاً از دبی ۲۵ ساله برای بررسی شرایط مورفولوژیکی رودخانه و همچنین برای تعیین حریم بستر رودخانه استفاده می‌گردد. برای اجرای مدل نیاز به معرفی شرایط مرزی در بالادست و پایین دست بود که بدین منظور برای شرایط مرزی بالادست از عمق نرمال و برای شرایط مرزی



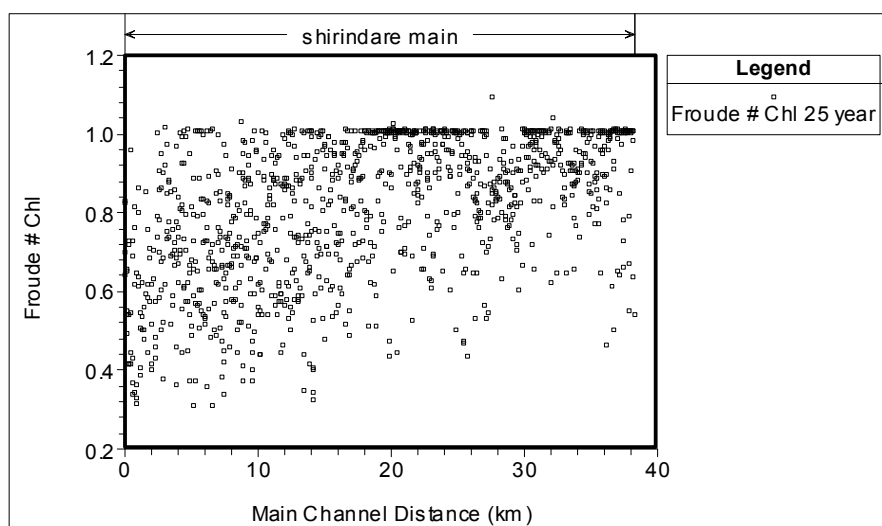
شکل(۵): تغییرات سرعت جریان در طول رودخانه شیرین دره

خوبی بیانگر این موضوع می‌باشد. همچنین، مقدار حداقل و حداقل تنش برشی به ترتیب  $30/12$  و  $361/94$  نیوتون بر مترمربع می‌باشد.

همانطوریکه اعداد جدول ۳ نشان می‌دهد، حداقل و حداقل سرعت جریان بین  $1/29$  تا  $5/29$  متر بر ثانیه بوده و تقریباً در بیشتر مقاطع رودخانه جریان از نوع زیر بحرانی می‌باشد، که شکل ۷ به



شکل (۶): تغییرات سرعت برشی جریان در طول رودخانه شیرین دره



شکل (۷): تغییرات عدد فرود جریان در طول رودخانه شیرین دره

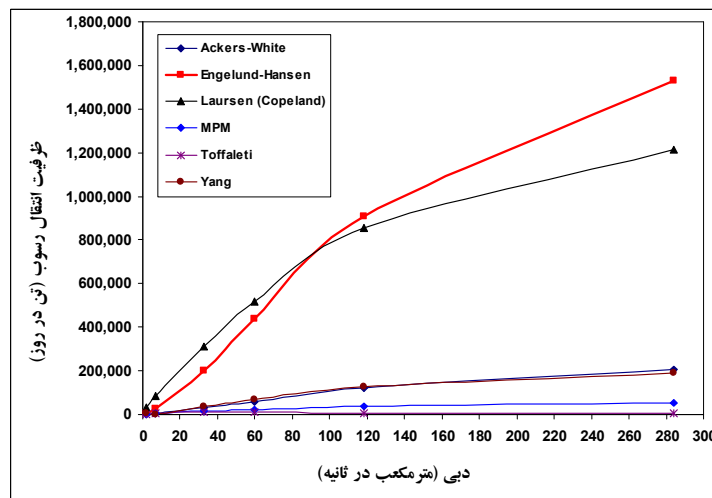
جدول (۳): مقادیر حداقل و حداکثر پارامترهای سرعت جریان، عدد فرود جریان و تنش برشی در مقاطع مختلف رودخانه

پارامتر	مساحت جریان (m <sup>2</sup> )	عرض سطح آب (m)	سرعت (m/s)	شب افزایی (m/m)	تنش برشی (N/m <sup>2</sup> )	عدد فرود
واحد	۵۴/۱۳	۱۹/۷۳	۱/۲۹	۰/۰۰۱۶۳	۳۰/۱۲	-
مقدار می نیم	۵۴/۱۳	۱۹/۷۳	۱/۲۹	۰/۰۰۱۶۳	۳۰/۱۲	۰/۳۱
مقدار ماکزیمم	۲۲۳/۰۷	۲۳۶/۰۹	۰/۲۹	۰/۰۲۳۳۶۴	۳۶۱/۹۴	۱/۰۹

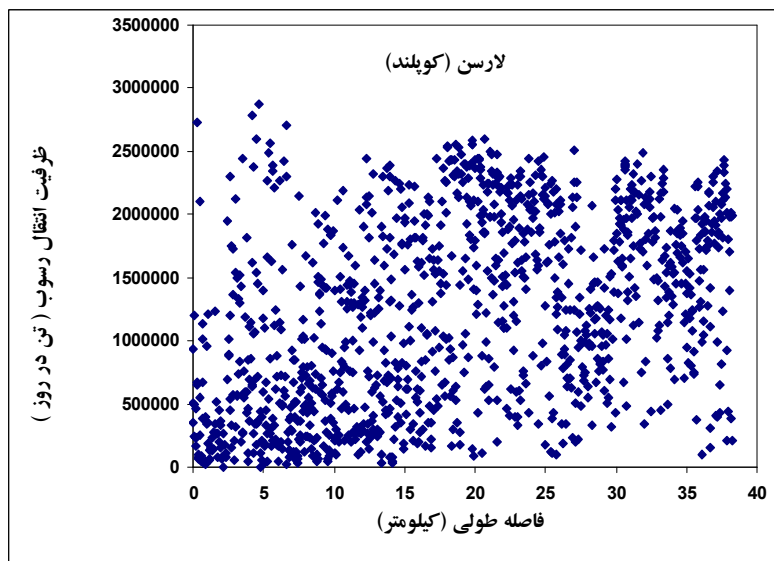
مورد مطالعه، مدل HEC-RAS با شش تابع انتقال رسوب (ایکرز- ولایت، انگلند- هانسن، لارسن (کوپلند)، میر- پیتر و مولر، توفالتی و

#### ۱- بررسی وضعیت انتقال رسوب رودخانه شیرین دره

یکی از قابلیت‌های مدل HEC-RAS بررسی قابلیت انتقال رسوب رودخانه می‌باشد. برای بازه



شکل (۸): ظرفیت انتقال رسوب محاسبه شده در مقطع پایین دست رودخانه شیرین دره (ایستگاه هیدرومتری قتلیش) با استفاده از شش تابع انتقال رسوب



شکل (۹): ظرفیت انتقال رسوب در طول رودخانه شیرین دره با استفاده تابع انتقال رسوب لارسن

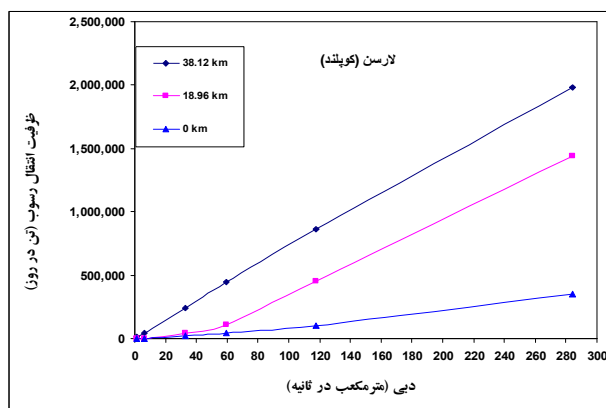
ظرفیت انتقال رسوب در طول رودخانه شیرین دره با استفاده از رابطه انتقال رسوب لارسن در شکل ۹ نشان داده شده است. مقدار ماکزیمم ظرفیت انتقال رسوب این رودخانه ۲,۶۱۹,۰۰۰ تن در روز می باشد.

همچنین، در شکل ۱۰ بر اساس رابطه لارسن (کوپلند)، ظرفیت انتقال رسوب در مقاطع ابتدایی، میانی و انتهایی رودخانه شیرین

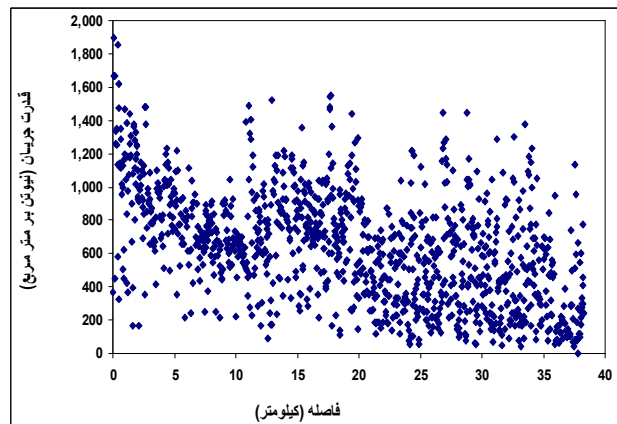
یانگ) برای رودخانه شیرین دره اجرا گردید. نتایج حاصل از حل روابط فوق نشان می دهد که ظرفیت حمل رسوب در بازه مورد بررسی براساس توابع مختلف در نظر گرفته شده متغیر می باشد. برای مثال در شکل ۸ ظرفیت انتقال رسوب در مقطع پایین دست رودخانه شیرین دره (ایستگاه هیدرومتری قتلیش) با استفاده از شش رابطه انتقال رسوب نشان داده شده است. همچنین

بررسی پروفیل طولی بستر رودخانه نشان می‌دهد، مقدار شیب رودخانه در بازه ابتدایی رودخانه برابر با  $2/68$  درصد می‌باشد، در حالیکه در بازه میانی و انتهایی رودخانه مقدار شیب رودخانه به مقدار  $1/76$  و  $0/98$  درصد کاهش می‌یابد. بررسی مقدار تنش برشی در بازه های مذکور نشان می‌دهد که مقدار تنش برشی به ترتیب  $28/67$ ،  $22/70$  و  $19/82$  نیوتن بر متر مربع می‌باشد. همچنین متناسب با آن مقدار متوسط قدرت جریان نیز کاهش می‌یابد(شکل ۱۱). بطوریکه محاسبات نشان می‌دهد مقدار متوسط قدرت جریان در بازه ابتدایی، میانی و انتهایی به ترتیب برابر با  $813$ ،  $658$  و  $469$  نیوتن بر متر مربع می‌باشد.

دره نشان داده شده است. بطوریکه محاسبات حاصل از اجرای مدل با دبی  $25$  ساله و با استفاده از رابطه لارسن (کوپلند) نشان می‌دهد، ظرفیت حمل رودخانه از بالادست به سمت پایین دست کاهش می‌یابد. برای انجام مقایسه، سرعت برشی و قدرت جریان در قسمت‌های مختلف رودخانه، رودخانه شیرین دره به سه بازه تقسیم بندی شد. بازه اولی (از ابتدای رودخانه تا کیلومتر  $12/75$ )، بازه میانی (از کیلومتر  $12/75$  تا کیلومتر  $25/51$ ) و بازه انتهایی (از کیلومتر  $25/51$  تا کیلومتر  $38/3$ ). علت کاهش ظرفیت حمل رودخانه از بالادست به سمت پایین دست، مرتبط با کاهش شیب بستر رودخانه و در نتیجه کاهش قدرت جریان برای فرسایش رسوبات بستر رودخانه می‌باشد.



شکل (۱۰): ظرفیت انتقال رسوب محاسبه شده در مقاطع بالا دست، میانی و پایین دست رودخانه شیرین دره با استفاده از قابع انتقال رسوب لارسن



شکل (۱۱): قدرت جریان محاسبه شده در طول رودخانه شیرین دره

اندازه‌گیری رسوب مربوط به دبی‌های پایین (کمتر از ۸ مترمکعب در ثانیه) می‌باشد و برای دبی‌های بالا، اندازه‌گیری کمی صورت گرفته است. بطوریکه در این ایستگاه حداقل اندازه‌گیری رسوب مربوط به دبی  $\frac{59}{8}$  مترمکعب در ثانیه می‌باشد. با توجه به این موضوع برای مقایسه نتایج مدل و اندازه‌گیری، مدل HEC-RAS با ۶ دبی برابر با مقادیر  $\frac{59}{80}$ ،  $\frac{32}{60}$ ،  $\frac{11}{10}$ ،  $\frac{6}{57}$ ،  $\frac{4}{05}$  و  $\frac{1}{57}$  مترمکعب در ثانیه اجرا گردید. شکل ۱۲ رابطه بین دبی و ظرفیت انتقال رسوب در ایستگاه هیدرومتری قتیلش را بر اساس شش معادله انتقال رسوب و اندازه‌گیری شده نشان می‌دهد. همچنین بین نتایج حاصل از اجرای مدل و اندازه‌گیری شده، مقایسه کمی صورت گرفته است که نتایج آن در جدول ۴ آمده است.

**۲- مقایسه نتایج حاصل از دبی رسوب محاسبه شده بوسیله مدل و اندازه‌گیری شده**  
به منظور بررسی دقت مدل در برآورد انتقال رسوب در رودخانه شیرین دره از آمار اندازه‌گیری شده در ایستگاه هیدرومتری قتیلش برروی رودخانه شیرین دره استفاده شد. رابطه بین دبی و دبی رسوب ایستگاه هیدرومتری قتیلش بصورت روابط ۵ و ۶ نشان داده شده است.

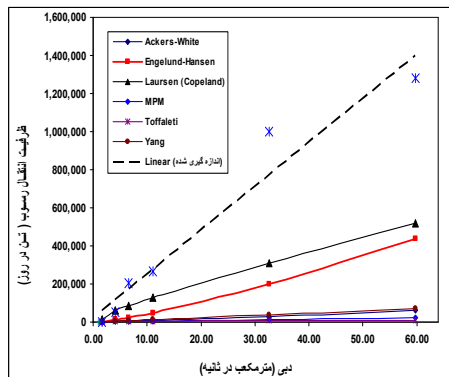
برای دبی کمتر از ۸ متر مکعب در ثانیه:

$$Q_s = 123.1 Q_w^{2.6022} \quad R^2 = 0.82 \quad (5)$$

برای دبی بیشتر از ۸ متر مکعب در ثانیه:

$$Q_s = 956.79 Q_w^{2.2512} \quad R^2 = 0.86 \quad (6)$$

بررسی آمار اندازه‌گیری شده در ایستگاه هیدرومتری مذکور نشان می‌دهد بیشتر



شکل (۱۲): رابطه بین دبی و ظرفیت انتقال رسوب در ایستگاه هیدرومتری قتلیش

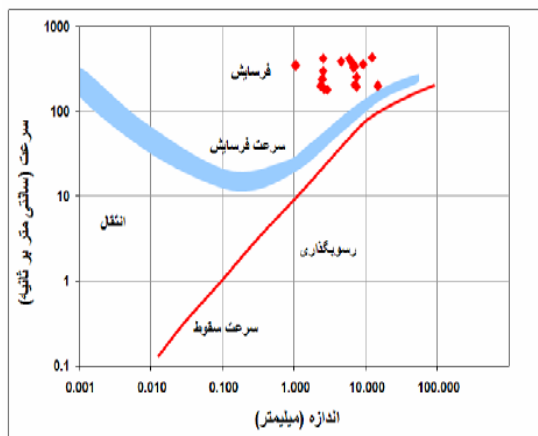
جدول (۴): مقایسه بین دبی رسوب اندازه‌گیری شده و محاسبه شده با استفاده از رابطه لارسن (کوپلندر)

درصد خطأ	دبی رسوب محاسبه شده (تن در روز)	دبی رسوب اندازه‌گیری شده (تن در روز)	دبی دبی (متر مکعب در ثانیه)
97.6	4,210	2,130	1.57
26.6	63,500	50155	4.05
58.6	84,160	203092	6.57
51.8	127,800	265013	11.10
68.9	311,600	1,002,200	32.60
59.6	517,100	1,279,708	59.80
60.5	متوسط خطأ		

ریزدانه بالا باشد، حالت تعادل ذکر شده بهم می‌خورد و یکی از دلایلی که بار رسوبی محاسبه شده توسط این توابع با آنچه که به واقع در رودخانه مشاهده می‌شود، متفاوت است، عدم توجه به ذرات ریز معلق است.

۳- بررسی وضعیت فرسایش، رسوبگذاری و تعادل رودخانه شیرین دره برای بررسی وضعیت فرسایش، رسوبگذاری و تعادل یک رودخانه معیارهای متعددی ارائه شده است که برای مثال می‌توان به معیار شیلدز، گسلر و هالستروم اشاره نمود. در این تحقیق ابتدا از معیار هالستروم استفاده شده است که در آن سرعت جریان در برابر اندازه

مقایسه دبی رسوب اندازه‌گیری شده و محاسبه شده با استفاده از رابطه لارسن (کوپلندر) در جدول ۴ نشان می‌دهد که بین دو مقدار دبی رسوب اندازه‌گیری شده و محاسبه شده بوسیله مدل، اختلاف وجود دارد و متوسط درصد اختلاف به  $60/5 = 12\%$  درصد می‌رسد. البته وجود این اختلاف می‌تواند دلایل مختلفی داشته باشد که برای مثال می‌توان به خطای اندازه‌گیری، خطای محاسباتی و دلایل دیگر اشاره نمود. همچنین یانگ<sup>۱</sup> [۱۵] در این زمینه اظهار می‌دارد کلیه توابع انتقال رسوب و معادلات ارائه شده، صرفاً به منظور تخمین نرخ انتقال رسوب و تعیین غلظت مواد رسوبی در یک حالت موازن (تعادل) و بدون در نظر گرفتن هیچگونه تهشیینی یا فرسایش، ارائه شده‌اند. لذا در صورتیکه بار شسته یا غلظت ذرات



شکل (۱۴): بررسی وضعیت فرسایش و رسوبگذاری رودخانه شیرین دره با استفاده از معیار هالستروم

### نتیجه‌گیری و پیشنهادات

در این پژوهش که بررسی وضعیت فرسایش و رسوبگذاری رودخانه شیرین دره با استفاده از مدل ریاضی HEC-RAS صورت گرفت، با استفاده از نتایج واقعی و مشاهده شده در رودخانه مذکور، به بررسی میزان دقت و کارایی مدل عددی HEC-RAS پرداخته شد و نتایج زیر بدست آمد:

- بررسی ششتابع انتقال رسوب ایکرز-وایت، انگلند-هانسن، لارسن (کوپلن)، میر-پیتر و مولر، توفالتی و یانگ در رودخانه نشان می‌دهد که ظرفیت حمل رسوب در بازه مورد بررسی براساس توابع مختلف در نظر گرفته شده متغیر می‌باشد.
- بررسی ظرفیت انتقال رسوب رودخانه در بازه ابتدایی، میانی، و انتهایی نشان می‌دهد، ظرفیت حمل رودخانه از بالا دست به سمت پایین دست کاهش می‌یابد. بطوریکه مقایسه انجام شده نشان می‌دهد بطور متوسط ظرفیت حمل رسوب در بازه میانی و انتهایی نسبت به

ذرات ترسیم می‌شود. در این منحنی سه ناحیه فرسایش، رسوبگذاری و تعادل از یکدیگر تمایز شده‌اند. برای تحقیق حاضر از ۱۹ نمونه رسوب اخذ شده در طول رودخانه شیرین دره استفاده گردید (شکل ۱) موقعیت نمونه‌های اخذ شده را نشان می‌دهد). از آنجاییکه برای استفاده از منحنی هالستروم نیاز به برآورد سرعت متوسط جریان در مقاطع مورد نظر بود، لذا مدل HEC-RAS با استفاده از دبی ۲۵ ساله اجرا گردید. شکل ۱۳ نقاط ترسیم شده را بروی منحنی هالستروم نشان می‌دهد. ترسیم ۱۹ نقطه بر روی منحنی هالستروم نشان می‌دهد، در تمام مقاطع وضعیت جریان به گونه‌ای است که رودخانه در وضعیت فرسایش قرار دارد. همچنین بررسی با معیار شیلدز نشان می‌دهد در تمام مقاطع (به جز مقاطع کیلومتر ۱۲/۲۸۰) مقدار عدد رینولدز برشی بزرگتر از ۴۰۰ بوده و مقدار  $\Theta$  بزرگتر از ۰/۰۵۶ می‌باشد، به عبارت بهتر بر اساس معیار شیلدز نیز تمام مقاطع در حالت فرسایش می‌باشد.

تعادل رودخانه شیرین دره با معیارهای هالستروم و شیلدز نشان می‌دهد، برای دبی ۲۵ ساله در تمام مقاطع وضعیت جریان به گونه‌ای است که رودخانه در وضعیت فرسایش قرار دارد.

- در انتقال رسوب رودخانه‌ها سیلان‌ها با حجم زیاد، نقش به سزاگی دارند، لذا با توجه به اهمیت رودخانه شیرین دره وجود سد شیرین دره برروی این رودخانه پیشنهاد می‌شود تا مسئولین به ثبت چنین پدیده‌هایی حساس باشند، و داده‌های رسوب به اندازه کافی در شرایط سیلانی برداشت گردد.

- با توجه به این که در پایین دست بازه مورد مطالعه سد شیرین دره قرار دارد، و با توجه به اینکه تابع لارسن (کوپلند) نسبت به سایر توابع انتقال رسوب برآورده بتری داشته است، بر این اساس پیشنهاد می‌شود جهت شناخت پتانسیل میزان انتقال رسوب از این مدل در مناطق مختلف رودخانه و همچنین برای برآورد میزان رسوبات ورودی مخزن از این رابطه استفاده شود.

بازه ابتدایی به ترتیب ۱۹/۱ و ۵۲/۳ درصد کاهش می‌یابد. علت اصلی این کاهش مرتبط با کاهش شیب رودخانه می‌باشد. بررسی پروفیل طولی بستر رودخانه نشان می‌دهد مقادیر شیب رودخانه در سه بازه فوق به ترتیب برابر با ۰/۹۸، ۱/۷۶ و ۲/۶۸ درصد می‌باشد.

- مقایسه دبی رسوب اندازه گیری شده و محاسبه شده با استفاده از شش تابع انتقال رسوب نشان می‌دهد، رابطه لارسن (کوپلند) نسبت به سایر توابع انتقال رسوب برآورده بهتری دارد. متوسط خطای برآورد ۶۰/۵ درصد می‌باشد. دلیل اصلی وجود این اختلاف به توابع انتقال رسوب و معادلات ارائه شده بر می‌گردد چراکه آنها صرفاً به منظور تخمین نرخ انتقال رسوب و تعیین غلظت مواد رسوبی در یک حالت موازن (تعادل) و بدون در نظر گرفتن هیچگونه تنشیینی یا فرسایش، ارائه شده‌اند.

- بررسی وضعیت فرسایش، رسوبگذاری و

## منابع

- ۱- بهرنگی، ف.، بنی‌هاشمی، م.، پوربوجاریان، ع.، و امینی، م.م. ۱۳۸۸. مقایسه نتایج مدل عددی-HEC RAS با مقادیر واقعی در رسوبگذاری مخزن سد لتيان. هفتمين سمینار بين المللی مهندسي رودخانه، اهواز، دانشگاه شهيد چمران اهواز.
- ۲- سلاجقه، ع.، رحماني، ا.، فتح آبادي، ا. ۱۳۸۹. بررسی توان انتقال رسوب در رودخانه کرج. ششمین همایش ملی علوم و مهندسی آبخیزداری و چهارمین همایش ملی فرسایش و رسوب، دانشگاه تربیت مدرس، ۸ و ۹ اردیبهشت ماه ۱۳۸۹.
- ۳- شاهی نژاد، ب.، رستمی، س.، و محمودی کردستانی، س. ۱۳۸۵. بررسی هیدرولیکی جریان در رودخانه کارون محدوده شهری اهواز جزیره موزه آب. هفتمين سمینار بين المللی مهندسي رودخانه، اهواز، دانشگاه شهيد چمران.

- ۴- گزارش شرکت مهندسی مشاور کاوش پی. ۱۳۸۸. مطالعات تعیین حریم و بستر رودخانه شیرین دره. گزارش هیدرولیک وزارت نیرو. شرکت آب منطقه‌ای خراسان شمالی.
- ۵- خسروپور، ح، بنی‌هاشمی، م. صفائی یاری، ا. ۱۳۸۷. مقایسه نتایج پیشروعی دلتای رسوب در مخزن سد در مدل آزمایشگاهی با مدل عددی مشابه با استفاده از نرم افزار HEC-RAS. دومین کنفرانس ملی سد و نیروگاههای برقی، اردیبهشت ماه ۱۳۸۷.
- ۶- رحیمی‌دهاقانی، ن، فضل اولی، ر، نبویانپور، م، و ضیاء تباراحمدی، م. ۱۳۸۸. مقایسه نتایج مدل های MIKE11 و HEC-RAS در شبیه سازی پروفیل سطح آب در رودخانه‌ها (مطالعه موردی: رودخانه لردگان). هشتمین کنگره بین‌المللی مهندسی عمران، دانشگاه شیراز، شیراز، ایران.
- 7- Canfield, H. E., Wilson, C. J., Lane, L.J., Crowell, K.J., Thomas, W.A. 2005. Modeling scour and deposition in ephemeral channels after wildfire. Journal of Catena, 61(2-3): 273–291.
- 8- Cook, A., and Merwade, V. 2009. Effect of topographic data, geometric configuration and modeling approach on flood inundation mapping. Journal of Hydrology, 377(1-2): 131–142
- 9- Chang, H.H. 1988. Fluvial processes in river engineering. Jhon Wiley & sons New York, 432 p.
- 10- Gibson, S., Brunner, G., Piper, S., and Jensen, M. 2006. Sediment transport computations with HEC-RAS. Proceedings of the Eighth Federal Interagency Sedimentation Conference (8thFISC), April 2-6, 2006, Reno, NV, USA.
- 11- Horritt, M.S., and Bates, P.D. 2002. Evaluation of 1D and 2D numerical models for predicting river flood inundation. Journal of Hydrology, 268(1-4): 87–99.
- 12- Pappenberger, F., Beven, K., Horritt, M., Blazkova, S. 2005. Uncertainty in the calibration of effective roughness parameters in HEC-RAS using inundation and downstream level observations. Journal of Hydrology, 302 (1-4): 46–69.
- 13- Rathburn, S. and Wohl, E. 2003. Predicting fine sediment dynamics along a pool-riffle mountain channel. Journal of Geomorphology, 55(1-4):111– 124.
- 14- USACE, 2010. HEC-RAS River Analysis System, Reference Manual for Version 3.1.3 Report CPD-68, Hydrologic Engineering Center, Davis, CA.
- 15- Yang, C.T. 1996. Sediment Transport, Theory and Practice, Ottawa University, Mc-Graw Hill, 412p.